

УДК 621—815

© 1990

## СТРУКТУРА НЕСОИЗМЕРИМЫХ ФАЗ В СЛОИСТОМ СОЕДИНЕНИИ $1T\text{-VSe}_2$

*И. Г. Кулев, В. В. Кондратьев*

Проанализировано межслойное взаимодействие воли зарядовой плотности (ВЗП) и возможные типы упаковок ВЗП в низкотемпературных фазах слоистого соединения  $1T\text{-VSe}_2$ . Вычислена интенсивность диффузного рассеяния рентгеновских лучей в различных моделях беспорядка при упаковке слоев ВЗП. Проведено сравнение развитой в работе теории с данными дифракционных экспериментов.

Согласно дифракционным данным [1–3], в слоистом соединении  $1T\text{-VSe}_2$  при 100 К происходит фазовый переход (ФП) в  $3q$ -фазу, при котором возникает сверхструктура, соизмеримая с исходной решеткой в плоскости слоя ( $a'=4a$ ), но несоизмеримая в поперечном направлении  $c$  (ближкая к утроению периода). Ниже 80 К происходит второй ФП, когда амплитуда одной из трех ВЗП исчезает, а параметр несоизмеримости увеличивается. В работах [4, 5] нами была развита теория Ландау для описания ФП в  $1T\text{-VSe}_2$  в предположении, что межслойное взаимодействие значительно меньше однослоиной энергии [6–8]. Само по себе это предположение для слоистых структур оправданно, но правильнее следует сопоставлять энергию межслойного взаимодействия с фазовой частью однослоиной энергии, от соотношения которых зависят фазировка ВЗП в слое и разности фаз в соседних слоях, приводящие к наблюдаемой несоизмеримой структуре (упаковке слоев).

В данной работе рассмотрено несколько моделей межслойного беспорядка, соответствующих как сильному однослоиному, так определяющему межслойному взаимодействию. Для них вычислена интенсивность рассеяния рентгеновских лучей и проведено сравнение с данными дифракционных экспериментов [2]. Сделан вывод о существенной роли межслойного взаимодействия при формировании несоизмеримых фаз в  $1T\text{-VSe}_2$  и показано, что в этих условиях наилучшему согласию с экспериментом отвечает неоднородная локально-соизмеримая упаковка слоев с элементами уточнения и учета изменения периода вдоль оси  $c$ .

### 1. Межслойное взаимодействие и возможные упаковки слоев

Свободная энергия, обусловленная межслойным взаимодействием ВЗП 2-го порядка, имеет вид [4]

$$\Delta F = \sum_{l, n > 0} \int dr \sum_{j=1}^3 \operatorname{Re} \{ G_n \Phi_{j,l} \Phi_{j,l+n} \}, \quad (1)$$

где  $l, n$  — номера слоев;  $\Phi_{j,l}$  — параметр порядка. Ограничиваюсь взаимодействием ВЗП в ближайших слоях ( $G_1 = |G| \exp(i\varphi_G)$ ,  $G_{n>1} = 0$ ) и учитывая, что  $\Phi_{j,l} = \Delta \exp(i\theta_{j,l})$ , для  $3q$ -фазы получим

$$\Delta F = \sum_l F_{l,l+1} = |G|^2 \sum_l \sum_j \cos(\varphi_G + \Delta\theta_{j,l}), \quad (2)$$

где  $\Delta\theta_{j,l} = \theta_{j,l} - \theta_{j,l-1}$  — разность фаз в соседних слоях,  $\Delta$  — амплитуда ВЗП. Для  $2q$ -фазы индекс  $j$  в выражениях (1), (2) принимает только два значения.

Возможность образования истинной несоизмеримости вдоль оси  $c$  можно сразу отбросить, так как в этом случае невозможно реализовать соизмеримую структуру в слое, поскольку фазовая часть однослоевой свободной энергии [4]

$$F_0^{(l)} = -D_0 \Delta_1 \Delta_2 \Delta_3 \cos \sum_j \theta_{j,l} + E_1 \sum_j \Delta_j^4 \cos 4\theta_{j,l} \quad (3)$$

( $\Delta_1 = \Delta_2 = \Delta_3 \equiv \Delta$  для  $3q$ -фазы,  $\Delta_1 = \Delta_2 \equiv \Delta$ ,  $\Delta_3 \approx 0$  для  $2q$ -фазы) выпадает при суммировании по слоям. Минимизируя свободную энергию  $F = \sum_l (F_0^{(l)} + F_{l,l+1})$  по  $\theta_{j,l}$ , легко показать, что длиннопериодные соизмеримые состояния в общем случае не являются равновесными. Отсюда следует, что в  $1T\text{-VSe}_2$  может образовываться локально-соизмеримая неоднородная структура, аналогичная рассмотренной в [9].

Рассмотрим вначале случай малой межслойной энергии  $|F_{l,l+1}| \ll F_0^{(l)}$ . Тогда фазы ВЗП определяются из минимизации (3) и равны (далее рассматривается случай  $E_1 > 0$ , так как только тогда имеет место ФП  $3q \rightarrow 2q$  [4]):

а)  $3q_1$ -фаза ( $|D_0| \gg 4E_1\Delta$ )

$$\theta_{j,l}^{(\alpha)} = \frac{\pi}{2} n_{j,l} + \frac{2\pi}{3} m_l, \quad \sum_j n_{j,l} = \begin{cases} 0 & (D_0 < 0) \\ 2 & (D_0 > 0) \end{cases} \quad m_l = 0, 1, 2, \quad (4)$$

$$F_0 (\alpha = 0) = -|D_0| \Delta^3 + 3E_1 \Delta^4, \quad F_0 (\alpha = 1, 2) = -|D_0| \Delta^3 - 3/2 E_1 \Delta^4, \quad (5)$$

б)  $3q_2$ -фаза ( $|D_0| \ll 4E_1\Delta$ ),  $2q$ -фаза

$$\theta_{j,l} = \pi/4 + \pi/2 \cdot n_{j,l}, \quad (6)$$

$$F_0 (3q_2) = -1/\sqrt{2} \cdot |D_0| \Delta^3 - 3E_1 \Delta^4, \quad F_0 (2q) = -2E_1 \Delta^4. \quad (7)$$

Фазировка с  $m_l = 0$  отвечает метастабильному состоянию, но учет межслойного взаимодействия может привести к его стабилизации.

От разности фаз ВЗП в соседних слоях  $\Delta\theta_{j,l}^{(m)} = \pi/2 \cdot \Delta n_{j,l} + 2\pi/3 \cdot m_l$  удобно перейти к упаковочным векторам  $\mathbf{r}_{\Delta n_{j,l}, \Delta n_{j,l+1}}^{(m)} = (\Delta n_{j,l} + 4m/3)\mathbf{a}_1 + (\Delta n_{j,l+1} + 4m/3)\mathbf{a}_2$  ( $\mathbf{a}_i$  — векторы трансляций в слое исходной фазы), которые показывают смещение распределения зарядовой плотности от слоя к слою.

Для сверхструктуры, имеющей период  $Nc$ ,  $\sum_{l=1}^N \mathbf{r}_{\Delta n_{j,l}, \Delta n_{j,l+1}}^{(m)}$  должна быть равна вектору трансляции в слое, т. е.  $\sum \Delta n_{j,l+1} = 4s_{j,l+1}$ ,  $\sum m_l = 3s_{j,l}$ ,  $s_i$  — целые числа. Введем обозначение слоев с фазировкой  $\theta_{j,l}^{(\alpha)}$  при  $\alpha = 1, 2, 0$  соответственно  $A, B, C$ .

При  $|D_0| > 4E_1\Delta$  наимизшей энергией обладают слои  $A, B$ . Рассмотрим вначале упаковки типа  $AA \dots, BB \dots$ . Из рис. 1, a, где приведен график зависимости  $F_{l,l+1}$  от угла  $\varphi_G$ , являющегося параметром теории, видно, что наимизшие значения межслойной энергии достигаются при  $0 < \varphi_G < 116.6^\circ$  для  $\mathbf{r}_{11}^{(0)}, \mathbf{r}_{12}^{(0)}, \mathbf{r}_{21}^{(0)}$ , при  $116.6^\circ < \varphi_G < 243.4^\circ$  для  $\mathbf{r}_{00}^{(0)}$ , при  $243.4^\circ < \varphi_G < 360^\circ$  для  $\mathbf{r}_{33}^{(0)}, \mathbf{r}_{23}^{(0)}, \mathbf{r}_{32}^{(0)}$  (соответствующие этим случаям кривые 1, 2, 3).

Вторая область углов не представляет интереса, так как если бы  $116.6^\circ < \varphi_G < 243.4^\circ$ , то период вдоль оси  $c$  не должен был бы изменяться, что противоречит эксперименту. В третьей области углов  $\varphi_G$  получаются структуры, двойникованные по отношению к упаковкам при  $0 < \varphi_G < 116.6^\circ$ . Поэтому будем в дальнейшем считать для определенности, что  $0 < \varphi_G < 116.6^\circ$ . В этой области возможны следующие соизмеримые упаковки:  $3c$  (повторяются в любой комбинации три раз-

личных вектора упаковки, например  $\mathbf{r}_{11}^{(0)}\mathbf{r}_{12}^{(0)}\mathbf{r}_{21}^{(0)}$ , 4с (повторяется один из трех векторов упаковки), 8с (повторяются любые два из трех векторов упаковки). Эти упаковки равновероятны, так как имеют одинаковую энергию и поэтому должны приводить к сильному межслойному беспорядку (только учет взаимодействия ВЗП в следующих слоях  $F_{l, l+2}$  приводит к понижению энергии 3с структуры по сравнению с 4с, если  $\varphi_G$  лежит в третьей области углов).

Энергетически более выгодными являются упаковки типа  $ABBA\dots$  (а) и  $ABAB\dots$  (б), так как  $(F_{A,B} + F_{B,A}) < 2F_{A,A}$  (рис. 1, б), где  $F_{A,B} = F_{l,l+1}$ . В этом случае минимальную энергию имеет упаковка  $AB$  с вектором  $\mathbf{r}_{00}^{(1)}$  (кривая 2); конкурирующей с упаковкой  $AA$  (кривая 1) является  $BA$  с векторами  $\mathbf{r}_{33}^{(2)}, \mathbf{r}_{23}^{(2)}, \mathbf{r}_{32}^{(2)}$  (кривая 3). В упаковках типа (а) уточнение периода вдоль с можно получить тремя упаковками:  $\mathbf{r}_0^{(1)}\mathbf{r}_{11}^{(0)}\mathbf{r}_{33}^{(2)}$ ,  $\mathbf{r}_0^{(1)}\mathbf{r}_{12}^{(0)}\mathbf{r}_{32}^{(2)}$ ,  $\mathbf{r}_0^{(1)}\mathbf{r}_{21}^{(0)}\mathbf{r}_{23}^{(2)}$ . Далее следуют длиннопериодные структуры 9с, 12с, ... Упаковки типа (б) приводят к структурам 6с, 8с, 12с, ... Общим для всех этих упаковок является многовариантность, что должно приводить к сильному межслойному беспорядку.

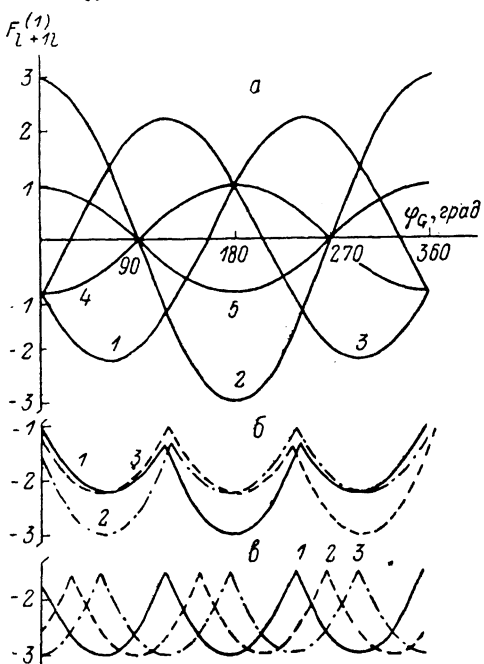


Рис. 1. Графики зависимостей  $F_{l, l+1}$  от угла  $\varphi_G$ .

а: для упаковок типа  $AAA\dots, BBB\dots$ . Кривая 1 соответствует упаковочным векторам  $\mathbf{r}_{11}^{(0)}, \mathbf{r}_{12}^{(0)}, \mathbf{r}_{21}^{(0)}, 2 - \mathbf{r}_{00}^{(1)}, 3 - \mathbf{r}_{33}^{(2)}, \mathbf{r}_{23}^{(2)}, \mathbf{r}_{32}^{(2)}$ ; б: упаковки  $AA$  (1),  $AB$  (2),  $BA$  (3); в: те же зависимости для структур 3с (1), 4с (2), 2с (3).

Иная ситуация возникает, если межслойная энергия становится сравнимой с фазовой частью однослоиной энергии. Тогда энергетически выгодной уже будет упаковка  $ABC\dots$  (в), реализующаяся единственным способом. Исходя из рис. 1, б и выражений (2), (5), следует, что для этого необходимо выполнение условия

$$|F_{A,B} - F_{B,A}| > 3E_1\Delta^4. \quad (8)$$

Вследствие конкуренции однослоиной и межслойной энергий в этой структуре возможны ошибки упаковки, т. е. существует вероятность, что после слоя  $B$  следует не  $C$ , а  $A$  или  $B$ :  $ABCABABC\dots$  или  $ABCABBCA\dots$ . Ниже будет показано, что вычисление для этих структур рассеяние рентгеновских лучей нельзя согласовать с данными эксперимента [2]. При условии  $|F_{l,l+1}| > F_0$ , кроме структуры  $ABC\dots$ , должны быть включены в рассмотрение структуры с удвоением периода  $\theta_{j,l}^{(2c)} = \pi l + \pi/4$  (г) и с учетом периода  $\theta_{j,l}^{(4c)} = \pi/2 \cdot l + \pi/4$  (д). Из сравнения энергий структур 3с, 2с, 4с (рис. 1, в)

$$\begin{aligned} F^{(3c)} &= -|D_0|\Delta^3 + 3|G|\Delta^2 \cos(\varphi_G + 2\pi/3), \\ F^{(2c)} &= -3E_1\Delta^4 - 3|G|\Delta^2 \cos \varphi_G, \quad F^{(4c)} = -3E_1\Delta^4 - 3|G|\Delta^2 \sin \varphi_G \end{aligned} \quad (9)$$

следует, что для реализации упаковки, близкой к 3с (в которой присутствуют элементы как уточнения, так и учета периода), необходимо выполнение неравенства

$$45^\circ < \varphi_G < 75^\circ, \quad \frac{3}{2}|G|[\cos \varphi_G + (2 - \sqrt{3}) \sin \varphi_G] > 3E_1\Delta^2 - |D_0|\Delta. \quad (10)$$

Поскольку структура, близкая к устроению периода, в  $1T$ -VSe<sub>2</sub> существует в широком интервале температур ниже ФП, причем ширина рентгеновского пика слабо зависит от температуры, то такая структура может быть обусловлена конкуренцией упаковок  $3c$  и  $4c$ , а это в свою очередь может быть, если межслойная энергия больше зависящих от фазы членов однослоиной энергии.

## 2. Интенсивность рассеяния рентгеновских лучей

При вычислении интенсивности рассеяния будем исходить из общего выражения

$$I = |A|^2 = \left| \int d\mathbf{r} (\rho_0 + \Delta\rho) \exp[2\pi i \mathbf{G}(\mathbf{r} + \mathbf{u})] \right|^2, \quad (11)$$

где  $A$  — амплитуда рассеяния;  $\mathbf{G} = (\mathbf{q} - \mathbf{q}_0)/\lambda$  — вектор рассеяния,  $\mathbf{q}$  и  $\mathbf{q}_0$  — единичные векторы в направлении падающего и отраженного пучков,  $\lambda$  — длина волны;  $\rho_0$  — электронная плотность в нормальной фазе;  $\Delta\rho(\mathbf{r}) = \Delta \sum_l \delta(z - l) \sum_j \cos(\mathbf{q}_j \cdot \mathbf{r} + \theta_{j,l})$  — ее изменение вследствие ВЗП [4],  $\mathbf{q}_j$  и  $\mathbf{r}$  — векторы сверхструктуры и двумерный вектор в плоскости слоя,  $\mathbf{r} = \mathbf{r} + iz$ ,  $\mathbf{u}(\mathbf{r}) \sim \nabla(\Delta\rho(\mathbf{r}))$  — обусловленная ВЗП деформация решетки.

Если учесть, что амплитуды  $\Delta$  и  $\eta$  малы, то можно при вычислении амплитуды рассеяния пренебречь членами 2-го порядка. Тогда после громоздких вычислений получим

$$I = \frac{1}{N} \sum_{l, l'} F_l F_{l'}^* \exp[2\pi i G_3(l - l')]. \quad (12)$$

Здесь  $N$  — число элементарных ячеек,  $F_l$  — структурный фактор рассеяния слоем  $l$

$$F_l(\mathbf{G}) = F_0(\mathbf{G}) + \pi\eta N_m B_l(\mathbf{G}), \quad (13)$$

где

$$F_0(\mathbf{G}) = N_m (f_0 + f_1 [\exp[i\pi(2/3(G_1 + G_2) - G_3)] + \exp[i\pi(4/3(G_1 + G_2) - G_3)]]) \times \times \delta(G_1 - H) \delta(G_2 - K) \quad (14)$$

соответствует нормальной фазе;  $N_m$  — число ячеек в слое;  $f_0, f_1$  — атомные факторы рассеяния соответственно для ванадия и селена;  $\mathbf{G} = \mathbf{G}_1 \mathbf{b}_1 + \mathbf{G}_2 \mathbf{b}_2 + \mathbf{G}_3 \mathbf{b}_3$ ;  $\mathbf{b}_i$  — векторы обратной решетки в  $1T$ -структуре;  $H, K$  — целые числа;  $\eta = u_0/a\sqrt{3}$ ;  $u_0$  — амплитуда волны смещений,

$$\begin{aligned} B_l(\mathbf{G}) = & \int ((H + K - 1/2) \delta(G_1 - H + 1/4) \delta(G_2 - K + 1/4) \exp(-i\theta_3, l) - \\ & - (H + K + 1/2) \delta(G_1 - H - 1/4) \delta(G_2 - K - 1/4) \exp(i\theta_3, l) + \\ & + [(2K - H - 1/2) \delta(G_2 - K + 1/4) \exp(i\theta_2, l) - (2K - H + 1/2) \delta(G_2 - K - 1/4) \times \\ & \times \exp(-i\theta_2, l)] \delta(G_1 - H) + [(2H - K - 1/2) \delta(G_1 - H + 1/4) \exp(i\theta_1, l) - \\ & - (2H - K + 1/2) \delta(G_1 - H - 1/4) \exp(-i\theta_1, l)] \delta(G_2 - K)), \quad (14') \\ & j = f_0 + 2f_1 \cos[2\pi/3 \cdot (H + K) - \pi G_3]. \end{aligned}$$

Для направлений  $[2 \pm 0.25; 0; G_3]^*$  в обратной решетке, вдоль которых в [2] измерялось диффузное рассеяние, выражение для интенсивности, приходящейся на одну ячейку, примет простой вид

$$I/N = \mathcal{J}(2 \pm 1/4; 0; G_3) = \mathcal{J}_0^{\pm} \tilde{J}^{\pm} Y^{\pm}(G_3), \quad \tilde{J} = \tilde{J}/f_0, \quad (15)$$

$$\mathcal{J}_0^{\pm} = \left[ \pi\eta f_0 \left( 4 \pm \frac{1}{2} \right)^2 N_m \right]^{\pm}, \quad Y^{\pm} = \sum_{l=-\infty}^{\infty} K_l^{\pm} \exp(2\pi i G_3 l), \quad K_l^{\pm} = \langle \exp[\mp i(\theta_1, l - \theta_1, l)] \rangle. \quad (16)$$

Усреднение в корреляционном факторе (16) проводится по различным конфигурациям распределения фаз одной из ВЗП. Если такое распре-

деление, как в нашем случае, образует марковскую цепочку, то остается провести усреднение по всевозможным упаковкам слоев с номерами  $l=0$  и  $l=1$ .

Проиллюстрируем вычисление интенсивности на примере структуры типа  $AA\dots$  с векторами упаковки  $\mathbf{r}_1^{(0)}, \mathbf{r}_{12}^{(0)}, \mathbf{r}_{21}^{(0)}$ . Пусть вероятность  $\Delta\theta_{1,1}=\pi$  равна  $\beta$ , а  $\Delta\theta_{1,1}=\pi/2-(1-\beta)$ . Тогда, например, для направления  $[2-0.25; 0; G_3]^*$  имеем

$$K_l = a_1^l, \quad a_1 = (1-\beta) \exp(-\pi i/2) + \beta \exp(-\pi i) \equiv r \exp(-2\pi i G_m^-).$$

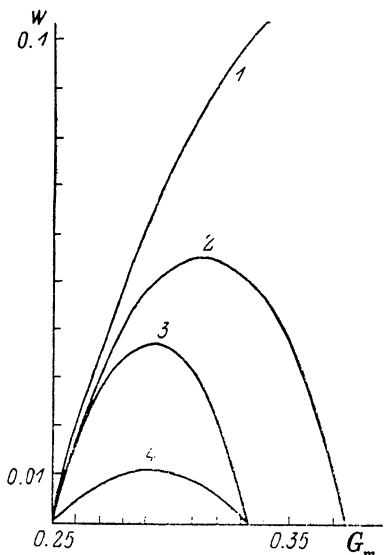
Формула для интенсивности

$$Y^-(G_3) = (1-r^2)/[1+r^2 - 2r \cos 2\pi(G_3 - G_m^-)], \quad (17)$$

где

$$r = (\beta^2 + (1-\beta)^2)^{1/2}, \quad G_m^\pm = 0.5(1 \pm \pi^{-1} \arccos(\beta/r)).$$

При  $\beta=1/3$ , что соответствует  $Y_{\max}^-= (1+r)/(1-r)$  приходится



равновероятным упаковкам, максимум на  $G_m^- = 0.324$ , причем ширина его на полувысоте пика  $w = 1/\pi \cdot \arccos(4r - r^2 - 1)/2r$  равна 0.094. На рис. 2 приведен график зависимости  $w$  от  $G_m^-$  (кривая 1). Варьируя параметр  $\beta$ , мы можем получить наблюдаемое на эксперименте положение пика, однако ширина его оказывается на порядок больше.

Если учесть тот факт, что взаимодействие  $F_{l, l+2}$  способствует утрое-

Рис. 2. Зависимость ширины  $w$  от положения максимума рентгеновского пика  $G_m^-$  для упаковок типа  $AA\dots$  (1) и  $AB\dots$  (2), типа  $AA\dots$  с уточнением периода и ошибками, приводящими к учетверению (3), и для упаковок, обусловленных конкуренцией структур  $3c$  и  $4c$  (4).

нию периода вдоль оси  $c$ , и рассмотреть упорядоченное расположение упаковок с разностью фаз  $\Delta\theta_{1,1}=\pi/2, \pi/2, \pi (\pi/2)$ , где в скобках указан сдвиг фаз для ошибки в упаковке, приводящей к учетверению, вероятность которой обозначим через  $\beta$ , то получим

$$K_l = a_2 b_2^2 K_{l-3}^-, \quad K_1^- = 1/3(a_2 + 2b_2), \quad K_2^- = 1/3(2a_2 + b_2)b_2, \\ a_2 = (1-\beta) \exp(-\pi i) + \beta \exp(-\pi i/2), \quad b_2 = \exp(-\pi i/2). \quad (18)$$

При учете (18) формула для интенсивности принимает вид

$$Y^-(G_3) = \frac{1}{3} \frac{(1-r^2)(1+2 \sin 2\pi G_3)^2}{[1+r^2 - 2r \cos 6\pi(G_3 - G_m^-)]}, \\ G_m^- = \frac{1}{3} \left(1 - \frac{1}{2\pi} \arccos\left(\frac{1-\beta}{r}\right)\right). \quad (19)$$

На рис. 2, 3 приведена зависимость ширины пика от положения  $G_m^-$ . Она существенно уже, чем в предыдущем случае, но еще в 3 раза шире экспериментальной.

Рассмотрение упаковок типа (а) и (б) также приводит к результатам, противоречащим эксперименту: упаковка типа  $ABBA\dots$  (а) дает  $G_m^- = 1/3$ , а для  $ABAB\dots$  (б) получаем  $G_m^- = 0.338$  вместо 0.314. На рис. 2, 2 приведен график зависимости  $w$  от  $G_m^-$  для упаковок  $ABAB\dots$ .

$$K_l = a_3 b_3 K_{l-2}^-, \quad a_3 = \exp(-2\pi i/3), \\ b_3 = (1-\beta) \exp(-5\pi i/6) + \beta \exp(-\pi i/3).$$

При укладке слоев  $ABC\dots$  (в) с ошибками типа  $BA$  и  $BB$  не происходит смещения экстраполекса из соизмеримого положения, равного  $\frac{1}{3}$ . Таким образом, из рассмотрения всех перечисленных структур следует, что данные по дифракции в  $1T\text{-VSe}_2$  не могут быть объяснены, если считать энергию межслойного взаимодействия малой.

Если  $|F_{l,l+1}| > F_0$  и справедливы неравенства (10), то при упаковке слоев будут конкурировать структуры с утроением (в) и учетверением (д) периода. Обозначим через  $(1-\beta)$  вероятность  $\Delta\theta_{j,l} = 2\pi/3$  и  $\beta$  — вероятность  $\Delta\theta_{j,l} = \pi/2$ . Тогда

$$K_l^- = a_4^l, a_4 = (1 - \beta) \exp(-2\pi i/3) + \beta \exp(-\pi i/2)$$

и интенсивность рассеяния будет описываться формулой (17), в которой следует произвести замену

$$\begin{aligned} r \rightarrow r_4 &= \frac{1}{2} [(1 - \beta)^2 + (\sqrt{3} + \beta)^2]^{1/2}, \\ G_m^\pm &= \frac{1}{2} \left[ 1 \pm \frac{1}{\pi} \arccos((1 - \beta)/r_4) \right]. \end{aligned} \quad (20)$$

При изменении  $\beta$  от 0.25 до 0.32 максимум интенсивности сдвигается из положения 0.314 до 0.307, причем  $w$  изменяется от 0.008 до 0.0094

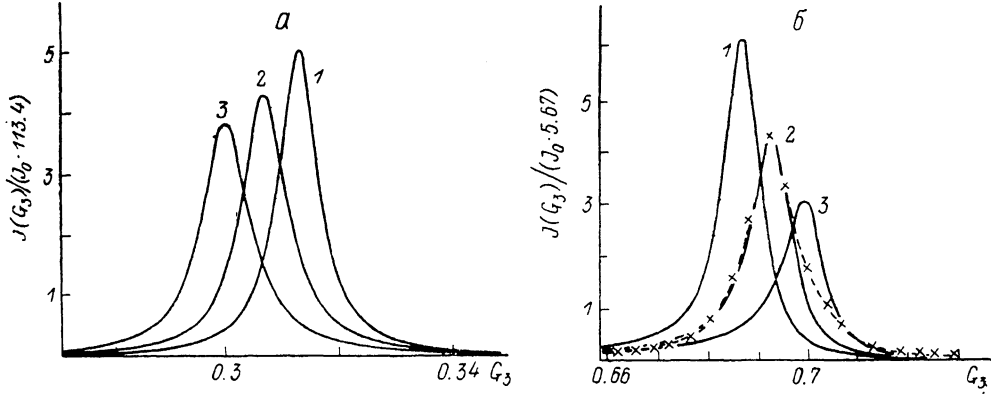


Рис. 3. Формы линий рентгеновских пиков в направлении  $[1.75; 0; G_3]^*$  (а) и  $[2.25; 0; G_3]^*$  (б).  $\beta = 0.25$  (1), 0.32 (2), 0.4 (3).

(рис. 2, кривая 4). Так как  $G_m^- \sim 0.3$  для направления  $[1.75; 0; G_3]^*$  и  $G_m^+ \sim 0.7$  для  $[2.25; 0; G_3]^*$ , то угол  $\varphi_A$  действительно находится в первой области углов. Следовательно, структура с утроением периода (в), в которой имеется большая вероятность ( $\sim 0.25$ ) ошибок, приводящих к учетверению периода, является наиболее приемлемой для описания упаковки слоев в 3 $q$ -фазе  $1T\text{-VSe}_2$ .

На рис. 3 приведены зависимости величины  $J^\pm/J_0$  для направлений  $[2.25; 0; G_3]^*$  (а) и  $[1.75; 0; G_3]^*$  (б). Для  $\beta = 0.32$  амплитуда пика во втором случае оказывается примерно в 20 раз выше, чем в первом. Сравнение теоретической кривой, описывающей форму пика, с экспериментальной (рис. 3, б, кривая 2 и штриховая линия) показывает хорошее совпадение как по ширине, так и по форме линии.

Аналогичный вывод можно сделать и после анализа возможных упаковок слоев ВЭП в 2 $q$ -фазе. Однако вероятность сдвига фаз  $\Delta\theta = \pi/2$  при ошибке в упаковке типа учетверения должна быть больше ( $\sim 0.32$ ), чтобы получить наблюдаемое значение  $G_m^- = 0.307$ . Это можно попытать из энергетических соображений, если учесть, что, согласно (5), (7) и (9), разность энергий структур в 2 $q$ -фазе

$$(F_{2q}^{(4c)} - F_{2q}^{(3c)}) = (F_{3q}^{(4c)} - F_{3q}^{(3c)}) - (3/2)E_1 \Delta_{3q}^4 + |D_0| \Delta_{3q}^3$$

меньше, чем соответствующая разность в 3 $q$ -фазе. Следовательно, вероятность этих ошибок в 2 $q$ -фазе должна быть большей. Принципиальным

отличием картины рассеяния в  $3q$ - и  $2q$ -фазах является то, что максимумы, соответствующие одной из ВЗП в  $2q$ -фазе, должны погасать. Поэтому для более точного установления ФП  $3q \rightarrow 2q$  необходимы измерения интенсивности рассеяния и в других направлениях обратной решетки:  $[0; K \pm 0.25; G_3]^*$ ,  $[H \pm 0.25; K \pm 0.25; G_3]^*$ .

Таким образом, сравнение интенсивности диффузного рассеяния рентгеновских лучей, вычисленной в различных моделях беспорядка при упаковке слоев в  $1T\text{-VSe}_2$ , с данными дифракционных экспериментов позволило установить модель структуры (локально-соизмеримая упаковка слоев с утвоением и учетом периода вдоль оси  $c$ ) и сделать вывод о том, что межслойное взаимодействие в этих соединениях больше зависящей от фаз ВЗП части однослоевой энергии. Для изучения ФП  $3q \rightarrow 2q$ , а также более адекватного сравнения развитой здесь теории с экспериментальными данными необходимо проведение более полных рентгеновских исследований.

#### Список литературы

- [1] Tsutsumi K., Sambongi T., Toriumi A., Tanaka S. J. // J. Phys. Soc. Jap. 1980. V. 49. N 2. P. 837—838.
- [2] Tsutsumi K. // Phys. Rev. B. 1982. V. 26. N 2. P. 5756—5759.
- [3] Eaglesham D. J., Withers R. L., Bird D. M. // J. Phys. C. 1986. V. 19. N 3. P. 359—367.
- [4] Кулев И. Г., Кондратьев В. В., Скрипов А. В. // ФТТ. 1988. Т. 30. № 8. С. 2264—2272.
- [5] Кулев И. Г., Кондратьев В. В. // ФТТ. 1990. Т. 32. N 3.
- [6] Walker M. B., Jacobs A. E. // Phys. Rev. B. 1982. V. 25. N 7. P. 4856—4870.
- [7] Walker M. B., Withers R. L. // Phys. Rev. B. 1983. V. 28. N 5. P. 2766—2774.
- [8] Shiba H., Nakanishi K. // Tech. Rep. ISSP. 1985. Ser. A. N 1555. 166 p.
- [9] McMillan W. L. // Phys. Rev. B. 1976. V. 14. N 4. P. 1496—1504.
- [10] Гинье А. Рентгенография кристаллов. М.: Физматгиз, 1961. 604 с.

Институт физики металлов  
УрО АН СССР  
Свердловск

Поступило в Редакцию  
2 июня 1989 г.